

III-40

不飽和砂質土の繰返しせん断変形挙動

東北大大学院 学○ 海野 寿康・高村浩之
東北大大学院 正 仙頭紀明・渕岡良介・風間基樹

1. はじめに

砂の飽和度が低下すると液状化抵抗が増加することは、液状化研究の初期から知られている^{1), 2), 3)}。これらの研究は、きれいな砂における飽和度100–70%の三軸試験結果である。不飽和供試体を用いた従来の試験は、液状化強度の変化に着目したものがほとんどであり、繰返しせん断中のサクションの変化については、検討されていない。

本稿では、飽和及び不飽和状態における繰返し三軸試験の結果を示し、不飽和砂質土の繰返しせん断変形特性と繰返し中のサクションについて考察する。

2. 試験試料

土は、2003年三陸南地震において崩壊した築館町館下地区崩壊現場⁴⁾より採取した土(以降、築館土と称する)を用いた。築館土の土粒子密度と粒度分布を表-1に示す。土粒子の密度 ρ_s は2.478g/cm³である。また、細粒分を含むが塑性指数はN.Pであり非塑性である。図-1は築館土の水分特性曲線である。比較のために豊浦砂をあわせて示す。築館土の水分特性はサクション $s=17\text{--}20\text{kPa}$ 付近が空気侵入値(AEV)である。土がこの値よりも低い含水状態にある場合、AEVの値よりも高い含水状態と比較し、より大きなサクションを發揮するようになる。同一サクション下における築館土は豊浦砂と比べ含水比が高く、砂質土としては保水性が良い土である。

表-1 築館土の土粒子密度と粒度分布

土粒子密度 ρ_s (g/cm ³)	粒度分布 (%)				塑性指数
	礫分	砂分	シルト分	粘土分	
2.478	17	53	22	8	N.P

3. 試験概要

室内試験は飽和三軸試験装置と不飽和三軸試験装置を用いた。供試体は作製時に乾燥密度 $\rho_d=1.2\text{g}/\text{cm}^3$ 、含水比 $w_0=35\%$ になるよう調整した後、モールドにスプーンで流し込み作製した。試験は、繰返しせん断をステップ載荷で片振幅0.2, 0.4, 0.8, 1.2, 1.6, 2.0%のひずみを各10波づつ正弦波で与えるひずみ制御方式である。飽和試験と不飽和試験の試験条件は、下記の通りである。

飽和三軸試験：有効拘束圧 σ'_c は20kPaである。築館土は細粒分を多く含む土のため、CO₂置換と脱気

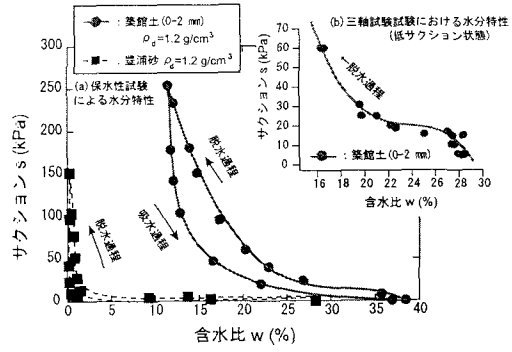


図-1 水分特性曲線

水、バックプレッシャーを100kPaを与えただけではB値が0.95以上にならない(概ねB値=0.4–0.5程度)。そこで通水時に2重負圧法を用いている。載荷は非排水条件下で行っており、載荷周波数は0.1Hzである。

不飽和三軸試験：装置は不飽和三軸試験装置(JGS 0527-1998)を繰返しせん断が行えるよう改良した装置を使用している。装置は間隙水圧 u_w と間隙空気圧 u_a を個々に計測できる。供試体下部には空気侵入値200kPaのセラミックディスクを設置し、ガラス纖維フィルターを通して供試体上部より間隙空気圧を任意に与えている。初期サクション値($u_w=0$, u_a を設定)は5, 10, 15, 17, 20, 25, 60kPaの7ケースとした。初期基底応力 $\sigma_{net}(=\sigma-u_a)$ は20kPaであり、供試体作製時の水分状態は、脱水状態である。載荷周波数については、セラミックディスクの透水係数が 10^{-7}cm/s 以下であるため載荷速度によっては間隙水圧が正確に測定できなくなる。そこで予備試験を行い、0.005Hzと決定した。この試験では、非排気・非排水条件でせん断を与える。

飽和試験、不飽和試験どちらも供試体サイズは直径5.0cm、高さ10cmの円柱形であり、土試料は2.0mm以下に粒度調整したものを用いた。

4. 繰返しせん断変形特性

図-2は飽和、不飽和条件下の繰返しせん断付与時のせん断応力-軸ひずみ関係の一例である。飽和させたケース(a)では繰返しせん断によりせん断抵抗が低下、供試体が軟化していることが分かる。この時、過剰間隙水圧比は1.0に達しているため(図-3参照)、い

わゆる液状化が生じている。対して不飽和供試体であるケース(b)と(c)を見ると、ケース(b)では繰返せん断により供試体はせん断抵抗の低下が生じ、ひずみ振幅の増加によってひずみ軟化挙動を示す。一方、不飽和の程度が大きい、ケース(c)では繰返せん断を与えてもひずみ硬化挙動を示している。

図-4は、ケース(b)と(c)の繰返せん断時のサクションの履歴である。ケース(b)と(c)どちらも繰返せん断によってサクションは低下する。ひずみ軟化を示すケース(b)では、サクションは0kPa以下となり-16kPaまで低下、試験終了時に-13kPaである。試験終了時の基底応力 σ_{net} が13kPaであることを考慮すると、いわゆる飽和土に対して定義される有効応力は0kPaとなっている。一方、ひずみ硬化を示すケース(c)ではサクションは低下するが0には至らない。

次に累積損失エネルギーを用いて試験結果を整理する。図-5は累積損失エネルギーの蓄積経過を示したものである。ここで累積損失エネルギーは初期有効拘束圧または初期基底応力で正規化している。飽和状態およびサクションが5-17kPaの不飽和供試体では累積損失エネルギーは軸ひずみ2.0%終了(載荷60回)までなだらかな上昇であるのに対し、初期サクションが20kPa以上のものはひずみが0.8%以降(載荷20回以降)急激な上昇をとる。このことから、サクションが20kPaと17kPaの供試体のエネルギー吸収性能は著しく異なることがわかる。これは、図-6の繰返せん断終了時の累積損失エネルギーと初期飽和度の関係からも読み取れる。すなわち、飽和度の低下とともに累積損失エネルギーは増加傾向にあるが、特にサクションが20kPa以上の供試体で著しく累積損失エネルギーが増加する。このサクションが17-20kPaの状態は図-1における空気侵入値(AEV)の値とほぼ一致する。したがって、繰返せん断による軟化、著しいせん断抵抗の低下を生じさせるような状態は、土中の空気(あるいは水)の状態に大きく影響を受ける。繰返せん断によって有効応力が極端に小さくなる状態は、飽和状態からサクションが空気侵入値(AEV)の状態までであると考えられる。

5.まとめ

本研究から次の結果を得た。

1. 不飽和供試体のサクションは繰返せん断により低下するが、その低下の程度は飽和度によって異なる。
2. 空気侵入値(AEV)以下の初期サクションでは、有

効応力は極端に低い状態になっており、ひずみ軟化を生じる。一方、空気侵入値(AEV)以上の初期サクションの供試体では繰返せん断による軟化挙動をとらない。

3. 空気侵入値(AEV)を境にして土中の空気の存在形態が変化し、その事によりせん断変形挙動に差が生じたと考えられる。

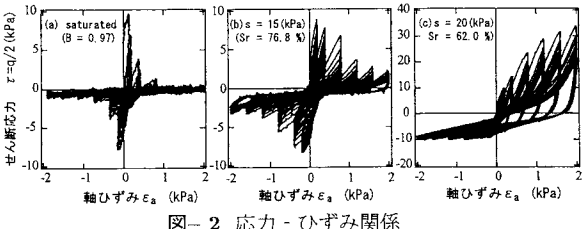


図-2 応力 - ひずみ関係

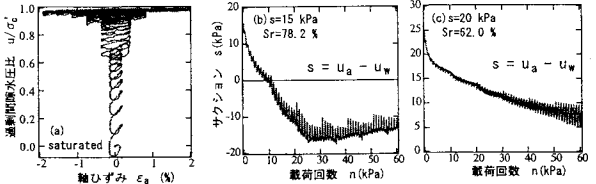


図-3 飽和土における

過剰間隙水圧比

図-4 繰返せん断中の

サクション

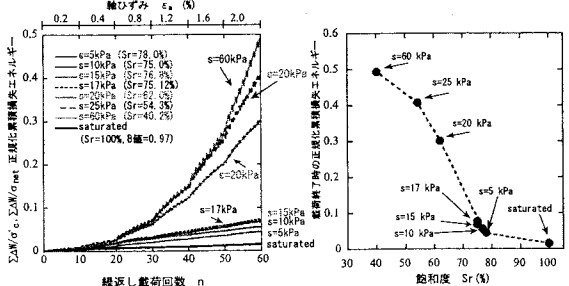


図-5 正規化累積損失エネルギーの蓄積

図-6 載荷終了時の累積損失エネルギーと飽和度

参考文献

- 1) 例えば Yoshimi, Y., Yanaka, K. and Tokimatsu, K.: Liquefaction resistance of a partially saturated sand, Soil and Foundations Vol.29, No.2, pp.157-162.
- 2) 社本康広、後藤 茂: 不飽和砂の液状化抵抗の評価法(その1)繰返せん断履歴効果を考慮した液状化抵抗の評価法、第37回地盤工学研究発表会、地盤工学会、pp.1987-1988, 2002.
- 3) 後藤 茂、社本康広: 不飽和砂の液状化抵抗の評価法(その2)繰返せん断履歴効果を与えた不飽和砂の液状化試験、第37回地盤工学研究発表会、地盤工学会、pp.1987-1988, 2002.
- 4) 地盤工学会: 2003年三陸南沖地震宮城県北部地震災害調査報告書、pp.19-29, 2003.